



بررسی های دورسنگی، زمین شناسی، دگرسانی، کانی سازی و ژئوشیمیابی در گسترهی پی-جوئی مس - طلا بالازرد، غرب نهیندان

روح الله میری بیدختی^{۱*}، محمدحسن کریمپور^۲، سید احمد مظاہری^۲

۱- گروه زمین شناسی، دانشکده علوم، دانشگاه فردوسی مشهد

۲- مرکز تحقیقات ذخایر معدنی شرق ایران، دانشگاه فردوسی مشهد

(دریافت مقاله: ۹۱/۱۲/۲، نسخه نهایی: ۹۲/۳/۲۶)

چکیده: گسترهی بالازرد در غرب نهیندان و در بخش مرکزی لوت واقع شده است. واحدهای سنگی این منطقه شامل ریولیت و آندزیت با سن ائوسن بوده که توده‌های نیمه نفوذی حدواتسط با ترکیب مونزوودیوریت تا دیوریت پورفیری در آن نفوذ کرده‌اند. شواهدی نظیر وجود کانی‌سازی سولفیدی پراکنده دانه و نیز دگرسانی‌های شدید، متنوع و گسترد (در مساحتی بالغ بر ۲۰ کیلومتر مربع)، نشانده‌های پتانسیل بالای کانی‌سازی در این گسترهی است. دگرسانی‌های وسیع شامل آرژیلیک، سرسیت-آرژیلیک، سیلیسی-آرژیلیک، آرژیلیک پیشرفت و پروپلیتیک واحدهای آتشفسانی و نفوذی منطقه را تحت تاثیر قرار داده است. کانی‌سازی به‌شکل افسان و رگه‌ای مشاهده می‌شود. مجموعه‌ی کانی‌ای درون‌زاد شامل پیریت و کالکوپیریت در توده‌های نفوذی و پیریت، اسفالریت، کالکوپیریت و گالن در رگه‌های کوارتز-کربنات هستند. همچنین کانی‌های ثانویه شامل کولیت، مالاکیت و آزوریت در رگه‌های کوارتز-کربنات دیده می‌شوند. براساس داده‌های زمین‌شیمی، عناصر طلا، نقره، مس، روی، آنتیموان، آرسنیک و سرب به ترتیب با بیشترین مقدار ۲۴۷۰ ppm، ۱۱۴ ppm، ۲۴۶۲ ppm، ۱۰۳ ppm، ۹۸ ppm و ۹۶۸ ppm نشان می‌دهند. بررسی‌های زمین‌شناسی، کانی‌شناسی، دگرسانی و ژئوشیمیابی در گسترهی بالازرد نشان دهنده‌ی کانی‌سازی سولفیدی در رگه‌های کوارتز-کربنات در اثر عملکرد یک گرمابکه در مسیر گسلها و زونهای برشی در حرکت بوده است ایجاد شده‌اند. علاوه بر این کانی‌سازی وسیع و پراکنده پیریت و به مقدار کمتر کالکوپیریت همراه با زونهای دگرسانی، نمایانگر فعالیت گستردی گرمابها در منطقه است.

واژه‌های کلیدی: دگرسانی؛ آستر؛ رگه‌ی کوارتز-کربنات؛ بالازرد؛ نهیندان.

است که از ژوراسیک آغاز شده و در ترشیاری به اوج خود رسیده است، بطوري که سنگهای آتشفسانی-نفوذی ترشیاری، به ویژه ائوسن، با ضخامت حدود ۲۰۰۰ متر، بیش از نیمی از بلوک لوت را می‌پوشاند [۲]. بلوک لوت به واسطه‌ی داشتن موقعیتهای زمین‌ساختی مختلف در زمانهای گذشته و به دنبال آن وجود حجم بزرگ ماقماتیسم با ویژگیهای ژئوشیمیابی متفاوت، دارای پتانسیل مناسبی برای کانی‌سازی‌های مختلف فلزی و غیر فلزی است [۳]. در بخش شرقی این بلوک،

مقدمه

منطقه‌ی پی‌جوئی بالازرد در شرق ایران و در گسترهای بین طول‌های "۵۹°۰۳'۰۰" تا "۵۹°۰۷'۵۰" شرقی و عرض‌های چغرافیایی "۳۱°۰۹'۰۰" تا "۳۱°۱۱'۲۰" شمالی و در ۴۰ کیلومتری غرب روستای دهسلم در استان خراسان جنوبی قرار گرفته است (شکل ۱) [۱]. این منطقه از نظر تقسیمات ساختاری در بخش مرکزی بلوک‌لوت قرار دارد [۲]. یکی از ویژگیهای منحصر بفرد بلوک لوت، فعالیتهای ماقماتیسمی آن

و ۱:۱۰۰۰۰۰)، توده‌های نفوذی این گستره مشخص نشده است و در نقشه ژئوشیمی ۱:۱۰۰۰۰۰ منطقه نیز از این گستره نمونه‌برداری صورت نگرفته است. هدف از این پژوهش دریافت داده‌های زمین‌شناسی با تاکید ویژه بر شناسایی و جدایی توده‌های نفوذی، دگرسان، کانی‌سازی و ژئوشیمی دقیق و با مقیاس مناسب و تحلیل سیستم کانی‌سازی در منطقه است.

روش بررسی

فعالیت‌های صورت گرفته بر مبنای مشاهدات صحرایی، نمونه‌برداری از واحدهای سنگی و بررسی‌های آزمایشگاهی شامل موارد زیر بوده‌اند:

۱- پردازش تصاویر ماهواره‌ای ASTER به منظور جدایی منطقه‌های دگرسان و شدت و پراکندگی آنها با استفاده از نرم‌افزار ENVI 4.2

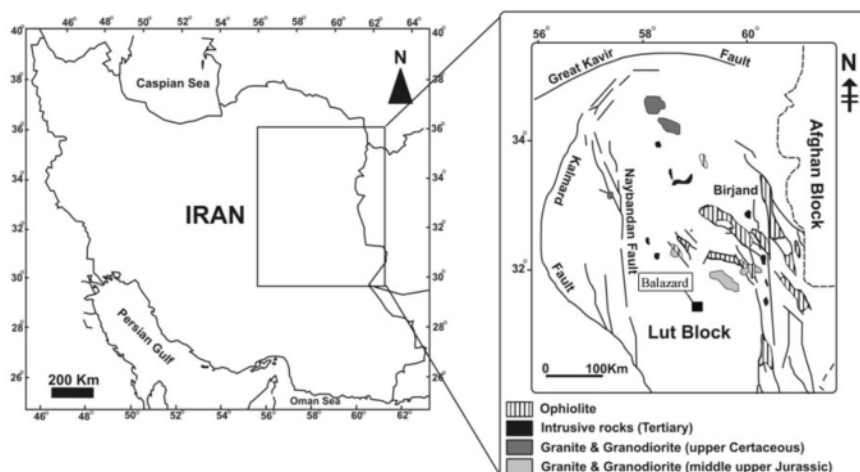
۲- بررسی‌های صحرایی و برداشت اطلاعات لازم برای تهیه نقشه از قبیل شناسایی واحدهای سنگی و ساختارهای زمین-ساختی، ۳- نمونه‌برداری از واحدهای سنگی (بیش از ۱۰۰ نمونه) به منظور بررسی‌های سنجش‌شناسی، دگرسانی و کانی‌سازی و تهیه و بررسی ۵۰ مقطع نازک و صیقلی

۴- تهیی نوشی زمین‌شناسی و دگرسانی رقومی منطقه با مقیاس ۱:۱۰۰۰۰

۵- برداشت، آماده‌سازی و تجزیه‌ی ۱۰ نمونه سنگی، که به صورت خرد سنگی از عرض رگه‌ها برداشت شده بودند و توسط شرکت زرآزما مورد بررسی قرار گرفتند. آنالیز نمونه‌های سنگی برداشت شده برای عنصر طلا به روش عیارسنجدی آذری (Fire assay)

کانی‌سازی‌های متعددی گزارش شده‌اند که از مهمترین آنها می‌توان به کانسارهای مس- طلای پورفیری ماهرآباد و خوپیک [۵،۶]، طلای اپی‌ترمال سولفید بالای کوهشاه [۶]، طلای اپی‌ترمال سولفید بالای چاه‌شلمجی [۷]، کانی‌سازی مس پورفیری و اسکارن مس‌پورفیری در منطقه ده‌سلم [۸] و کانسار اپی-ترمال چندفلزی مس-روی ماهور [۹] اشاره کرد. بازه‌ی زمانی بین ۴۲ تا ۳۳ میلیون سال پیش از (افوسن میانی تا اوایل الیگوسن)، مهمترین پنجره‌ی زمانی کانی‌سازی در شرق ایران است، بنابراین گرانیت‌وئیدهای تشکیل شده در این پنجره‌ی زمانی برای انواع کانی‌سازی مس- طلای پورفیری، طلای اپی‌ترمال سولفید بالا، اسکارن آهن، رگه‌های Sb, Zn, Pb و IOCG پتانسیل دارند [۱۱]. در گستره‌ی بالازرد کانی‌سازی اپی‌ترمال طلا، مس و روی در رگه‌های کوارتز-کربنات صورت گرفته است [۱۲]. بین ذخایر اپی‌ترمال طلا و ذخایر مس-طلای پورفیری ارتباط مکانی و زمانی وجود دارد که این ارتباط در مناطق مختلف جهان، به اثبات رسیده است [۱۳]. علاوه بر این بررسی‌ها معلوم شد که یک همراهی ژنتیکی بین ذخایر پورفیری و کانی‌سازی اپی‌ترمال سولفید بالای Ag با Cu, Au, Ag با زون‌های دگرسانی سیلیسی و آرژیلیک پیشرفت‌های درون‌زاد وجود دارد [۱۴].

به دلیل دوری از مرکز، بدی شرایط آب و هوایی و نامنی در زمانهای گذشته، کارهای انجام شده قبلی در این منطقه بسیار کم و تنها در حد تهیی نوشی‌های زمین‌شناسی با مقیاس ۱:۲۵۰۰۰ چاهوک [۱۵] و ۱:۱۰۰۰۰ ده‌سلم [۱۶] و بررسی‌های ژئوشیمی آبراهه‌ای با مقیاس ۱:۱۰۰۰۰ Balazard [۱۷] است. علاوه بر این در نقشه‌های زمین‌شناسی پیشین (مقیاس ۱:۲۵۰۰۰) برای



شکل ۱ موقعیت جغرافیایی گستره‌ی پی‌جوانی بالازرد در شرق ایران و بلوک لوت، تصویر با اندکی تغییر از [۱].

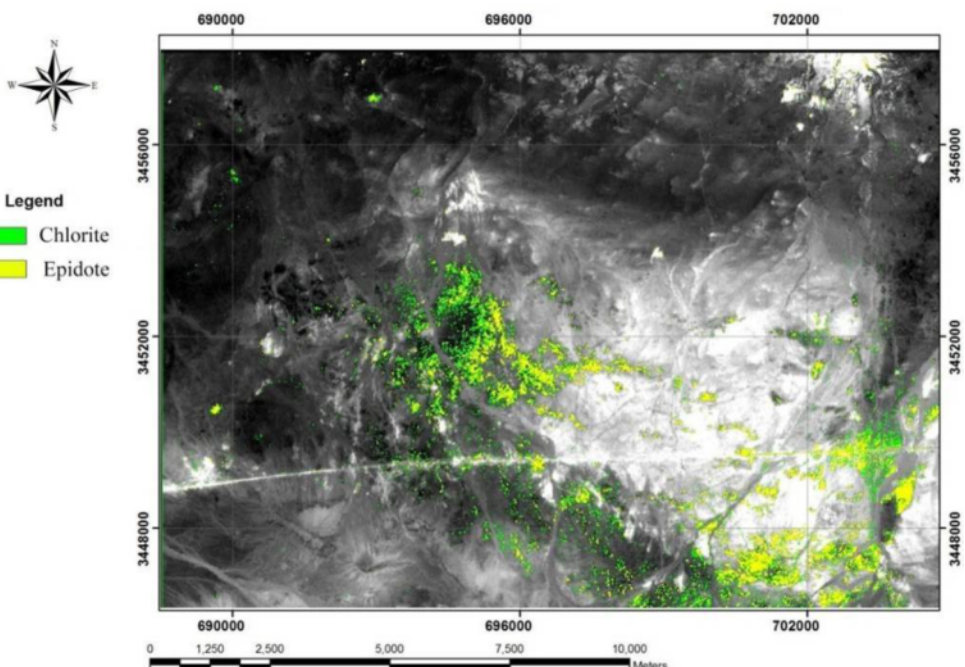
دگرسانی فیلیک و آرژیلیک، می‌توان محل‌های مناسب برای تشکیل کانی‌سازی را در مقیاس ناحیه‌ای انتخاب کرد [۲۱]. گستره‌ی بالا زرد در مناطق خشک و کویری واقع شده است و به علت نداشتن پوشش گیاهی، برای پردازش تصاویر ماهواره‌ای و تشخیص مناطق احتمالی دگرسان با صرف زمان کم مناسب است. برای پردازش تصاویر STER منطقه، از روش تفکیک SAM (Spectral Angle Mapper) استفاده شده است. کانی‌های شناخته شده عبارتند از هماتیت، سیلیس، کائولینیت، سرسیت، ژاروسیت، کلریت و اپیدوت. شدت و گسترش پراکندگی این کانی‌ها منجر به شناسایی و جدایش دگرسان‌های مختلف شده است (شکل‌های ۲ و ۳). این دگرسان‌ها از حاشیه به مرکز شامل پروپلیتیک دگرسان (شکل ۲) و در مرکز سرسیتیک و آرژیلیک دگرسان است و با توجه به گسترش نسبتاً زیاد، از نظر پی‌جوئی از اهمیت بالایی برخوردارند. وجود دگرسانی پروپلیتیک در حاشیه و سرسیتیک و آرژیلیک دگرسان در مرکز بسیار نزدیک به الگوی دگرسانی در ذخایر مس پورفیری است [۲۲]. حضور این دگرسانی‌ها، با مشاهدات دقیق صحرایی و بررسی‌های سنگنگاری نیز به اثبات رسیده است.

صورت گرفت. در این روش تجزیه‌ی طلا با بکارگیری مواد کمک ذوب مت Shankl از اکسید سرب، بوراکس و سوداش، طی فرایند های ذوب (Fusion)، کوبلاسیون (Cupellation) و انحلال اسیدی صورت می‌گیرد. سپس اندازه گیری عیار طلا به‌وسیله‌ی ICP-OES صورت گرفت. آنالیز سایر عناصر با روش ICP-OES انجام شده است.

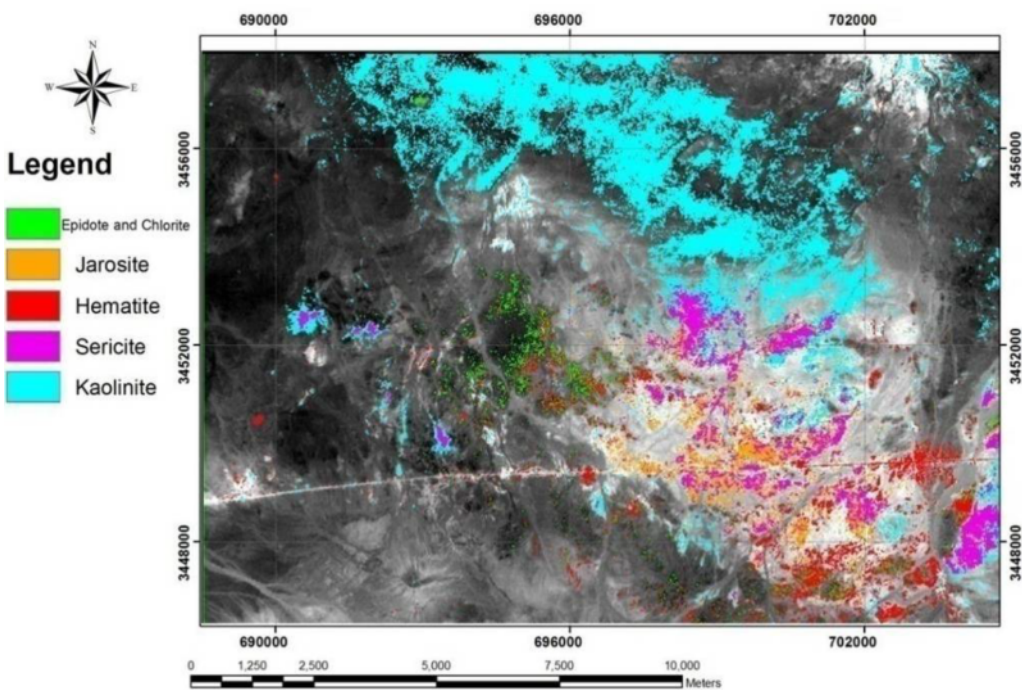
۶- بررسی و تفسیر داده‌های ژئوشیمیایی حاصل از آنالیز نمونه‌های سنگی

۷- جمع‌بندی و تفسیر نتایج دورسنجی

بررسی‌های دورسنجی و به کارگیری داده‌های ماهواره‌ای برای آشکارسازی زون‌های دگرسانی، در دهه‌های اخیر مورد توجه خاصی قرار گرفته است [۱۸]. استفاده از روش‌های نوین پردازش تصاویر ماهواره‌ای در پی‌جوئی‌ها و زمین‌شناسی در سال‌های به کار گرفته شده‌اند [۱۹]. داده‌های ماهواره ASTER از سال ۲۰۰۰ برای بررسی‌های زمین‌شناسی و کانی‌سازی مورد استفاده قرار گرفته‌اند [۲۰]. با پردازش داده‌های ماهواره‌ای آستر به منظور تهیه نقشه‌های معرف زون‌های دگرسان و کانی‌سازی در ذخایر مس پورفیری، نظری



شکل ۲ پردازش تصویر سنجنده آستر برای کانی‌های اپیدوت و کلریت به روش SAM



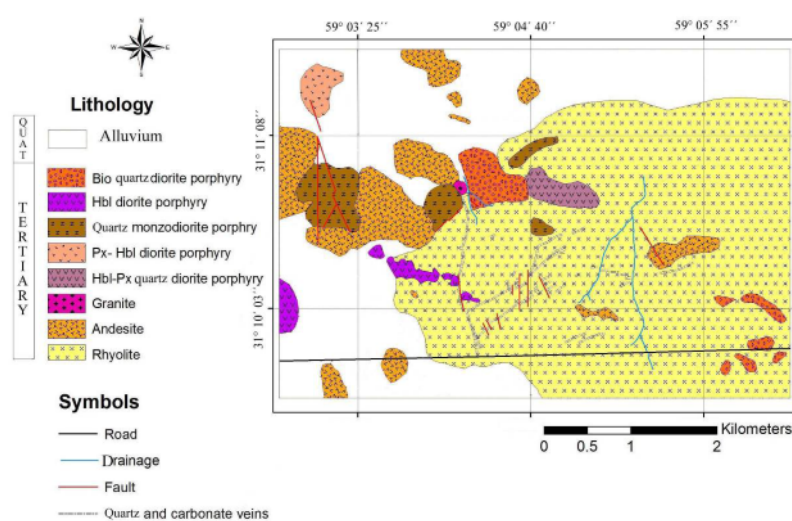
شکل ۳ پردازش تصویر سنجنده آستر برای کانی‌های کائولینیت، سرسیت، کلریت، اپیدوت، هماتیت و ژاروسیت به روش SAM

بیوپیت کوارتزدیوریت پورفیری، پیروکسن هورنبلند دیوریت پورفیری، هورنبلند پیروکسن کوارتز دیوریت پورفیری و هورنبلند دیوریت پورفیری - کوارتزمونزودیوریت پورفیری در مرکز و شرق نقشه رخنمون دارد (شکل ۴). بافت سنگ پورفیری است. کانی‌های درشت تشکیل دهنده‌ی سنگ شامل ۲۵ تا ۳۰ درصد پلازیوکلاز (آنذین- لابرادوریت)، ۱۰ تا ۱۵ درصد فلدسپات پتاسیم، ۵ تا ۷ درصد کوارتز و ۳ تا ۵ درصد هورنبلندن. زمینه‌ی سنگ نیز شامل کانی‌های یاد شده همراه با دگرسانی سیلیسی و آلوئونیتی است. در این واحد، پلازیوکلازها در بعضی نقاط به اپیدوت و کربنات دگرسان شده و بلورهای هورنبلند نیز به کلریت و مگنتیت تبدیل شده‌اند.

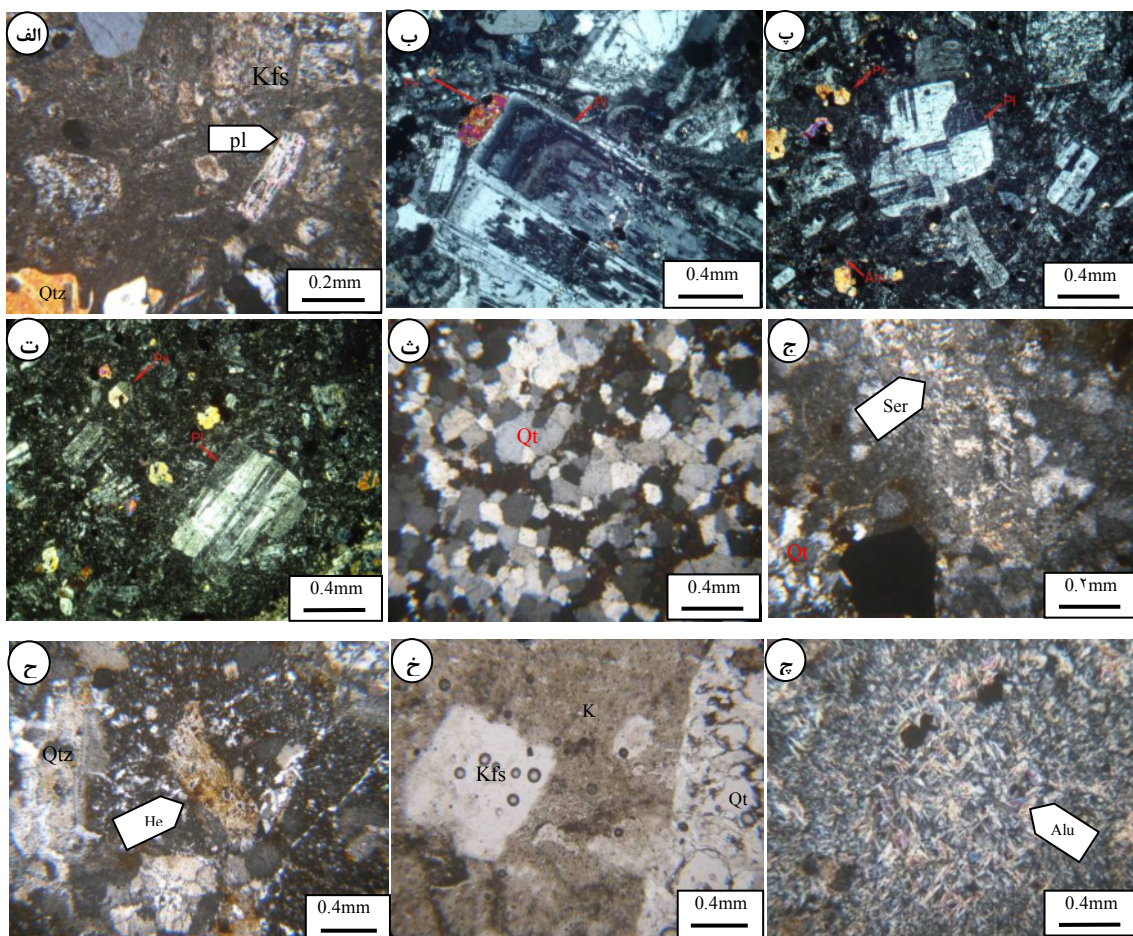
واحد پیروکسن هورنبلند دیوریت پورفیری در شمال غرب نقشه رخنمون دارد (شکل ۴). بافت این واحد پورفیری است. کانی‌های درشت مهم این واحد عبارتند از: پلازیوکلاز (آنذین) ۱۰ درصد، پیروکسن نوع اوژیت (۵ تا ۷ درصد). بلورهای پلازیوکلاز در این توده در حد ۱۵ تا ۲۰ درصد به اپیدوت تبدیل شده‌اند. در زمینه سنگ علاوه بر کانی‌های یاد شده، کانی کدر به صورت پراکنده حضور دارد.

زمین‌شناسی

گستره‌ی پی جوئی بالازرد از نظر زمین‌شناسی ناحیه‌ای، در بخش غربی برگه ۱:۱۰۰۰۰ دهسلم قرار گرفته است. بنابراین نقشه، بخش بزرگی از منطقه با سنگ‌های آتشفسانی در حد ریولیت و آندزیت وابسته به اتوسن پوشیده شده است. بررسی‌های صورت گرفته در این پژوهش نشان داد که بسیاری از واحدهایی که در نقشه‌ی سنگ آتشفسانی معرفی شده‌اند، توده‌های نفوذی نیمه عمیق هستند. برایه بررسی‌های صحرایی و آزمایشگاهی، واحدهای سنگی در گستره‌ی بی‌جوئی بالازرد را می‌توان به سه بخش واحدهای آتشفسانی، توده‌های نفوذی نیمه عمیق و عمیق تقسیم کرد. واحدهای آتشفسانی شامل ریولیت و آندزیت هستند، که بین آنها ریولیت بیشترین گسترش را دارد (شکل ۴ و ۵ الف). بافت این سنگها پورفیری و جریانی با زمینه‌ی شیشه‌ای و ریز دانه است. توده‌های نفوذی نیمه عمیق حدواسط با بافت پورفیری در بخش‌های مختلف گستره، بخصوص در بخش‌های شمالی، رخنمون دارند. این واحدها در سنگ‌های آتشفسانی نفوذ کرده‌اند و به این دلیل سن نسبی آنها در نقشه‌ی پسا اتوسن درنظر گرفته شده است. در این بررسی ۵ توده‌ی نفوذی نیمه عمیق در سطح شناسایی شده‌اند (شکل ۴) عبارتند از کوارتزمونزودیوریت پورفیری،



شکل ۴ نقشه زمین‌شناسی منطقه پی‌جوئی بالازرد.



شکل ۵ الف-تصویر میکروسکوپی از ریولیتهای منطقه (XPL) (ب- تصویر میکروسکوپی از کوارتز مونزودیوریت پورفیری (XPL) (پ- تصویر میکروسکوپی از پیروکسن هورنبلند دیوریت پورفیری، کانی هونبلند به کلریت دگرسان شده است. (ت- تصویر میکروسکوپی از آندزیت (XPL) (ث- تصویر میکروسکوپی از رگه کوارتی (XPL) (ج- تصویر میکروسکوپی از دگرسانی آرژیلیک-کوارتز-سرسیت-پیریت (XPL) (ح- تصویر میکروسکوپی از دگرسانی سیلیس-آرژیلیک (PL) (خ- تصویر میکروسکوپی از دگرسانی آرژیلیک پیشرفت (XPL) (علائم اختصاری [۲۲] و Ser برای سرسیت، Alu برای آلونیت استفاده شده است.

دگرسانی

بر پایه‌ی بررسی‌های صحرایی و آزمایشگاهی معلوم شد که ساخت واحدهای آتشفسانی و برخی توده‌های نیمه‌عمیق موجود در این گستره، تحت تاثیر گرمابی‌ها قرار گرفته‌اند، بخصوص ریولیت‌های گستره تحت تاثیر توده‌های نفوذی به شدت دگرسان شده‌اند. بر این اساس، ۵ نوع دگرسانی اصلی در سطح شناسایی شده است که عبارتند از: ۱- آژیلیک (براساس بررسی‌های سنگنگاری، دگرسانی‌های سرسیتیک-آژیلیک و سیلیسی-آژیلیک نیز به صورت زیرگروه تفکیک شده‌اند) ۲- پروپلیتیک ۳- آژیلیک پیشرفته ۴- سیلیسی-کربناتی ۵- گوسان (شکل ۶).

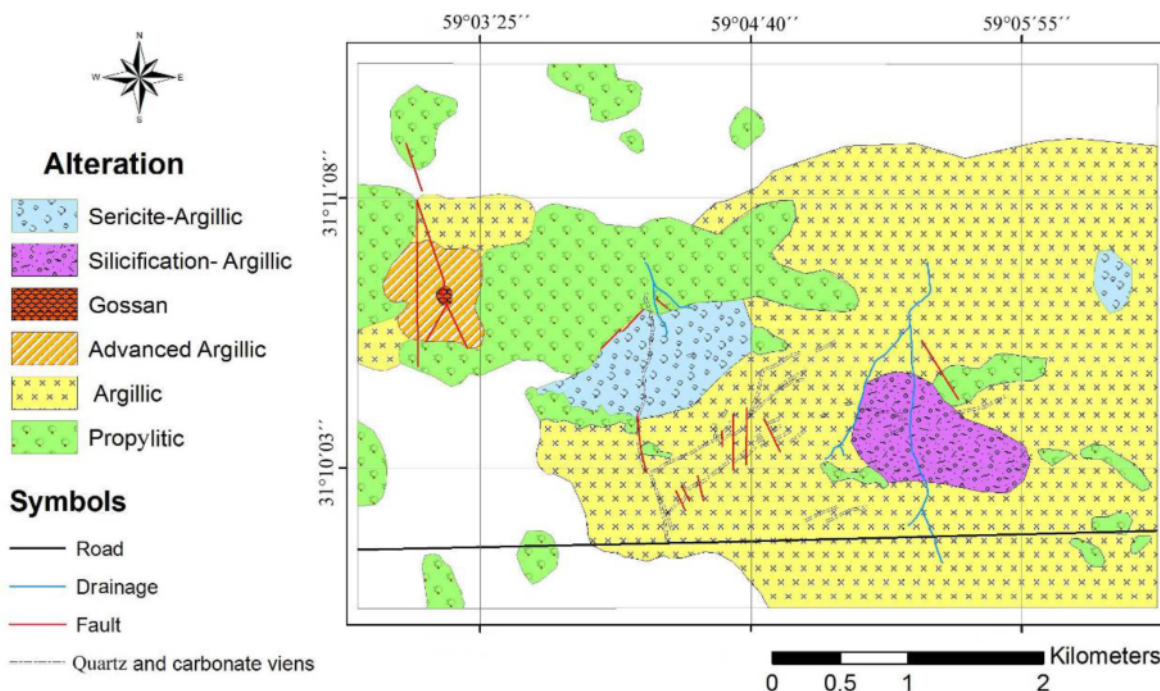
پروپلیتیک: دگرسانی پروپلیتیک گستره‌ی بالایی داشته و از کانی‌های کلریت، سرسیت، کلسیت و اپیدوت تشکیل شده است که در زمینه و به صورت جانشینی در کانی‌های مافیک و بخشی از بلورهای فلدسپات مشاهده می‌شوند. مقدار این کانی‌ها در نقاط مختلف متفاوت است. مقدار اپیدوت از ۲۰ تا ۳۵ درصد و کلریت از ۵ تا ۱۵ درصد متغیر است. اغلب این کانی‌ها حاصل دگرسانی هورنبلند و پلازیوکلاز است. کانی‌سازی پیریت به صورت افشار در این منطقه دیده می‌شود.

- بیوتیت‌کوارتزدیوریت پورفیری در غرب و مرکز نقشه دیده می‌شود (شکل ۴). این واحد با بافت پورفیری و کانی‌های درشت از ۳۰ تا ۳۵ درصد پلازیوکلاز، ۵ تا ۱۰ درصد بیوتیت، ۲ تا ۳ درصد هورنبلند و ۵ تا ۷ درصد کوارتز تشکیل شده است. زمینه سنگ نیز شامل کانی‌های فنوکریست است. پلازیوکلازها در بعضی نقاط تبدیل به کلریت و اپیدوت شده و هورنبلند و بیوتیت نیز به کلریت دگرسان شده‌اند.

- واحد هورنبلند پیروکسن کوارتز دیوریت پورفیری در مرکز نقشه رخمنون دارد. این واحد دارای بافت پورفیری با ۶۰ تا ۶۰ درصد فنوکریست است. فنوکریست‌های مهم در این واحد عبارتند از ۳۰ تا ۳۵ درصد پلازیوکلاز، ۱۰ تا ۱۵ درصد پیروکسن، ۵ تا ۱۰ درصد هورنبلند که به طور بخشی به کانی کلریت دگرسان شده‌اند. این واحد پروپلیتیک است.

- هورنبلند دیوریت دگرسان در بخش کوچکی از جنوب غرب نقشه رخمنون دارد (شکل ۴). بافت آن پورفیری با زمینه میان دانه است. کانی‌های درشت آن شامل ۳۰ تا ۳۵ درصد پلازیوکلاز، در حدود ۵ درصد فلدسپات پتاسیم، ۵ تا ۱۰ درصد هورنبلند و ۳ تا ۴ درصد کوارتز است. زمینه‌ی آن از پلازیوکلاز، فلدسپات پتاسیم، هورنبلند و کوارتز تشکیل شده است.

دگرسانی غالب در این توده پروپلیتیک است.



شکل ۶ نقشه‌ی دگرسانی گستره‌ی پی‌جوبی بالازرد.

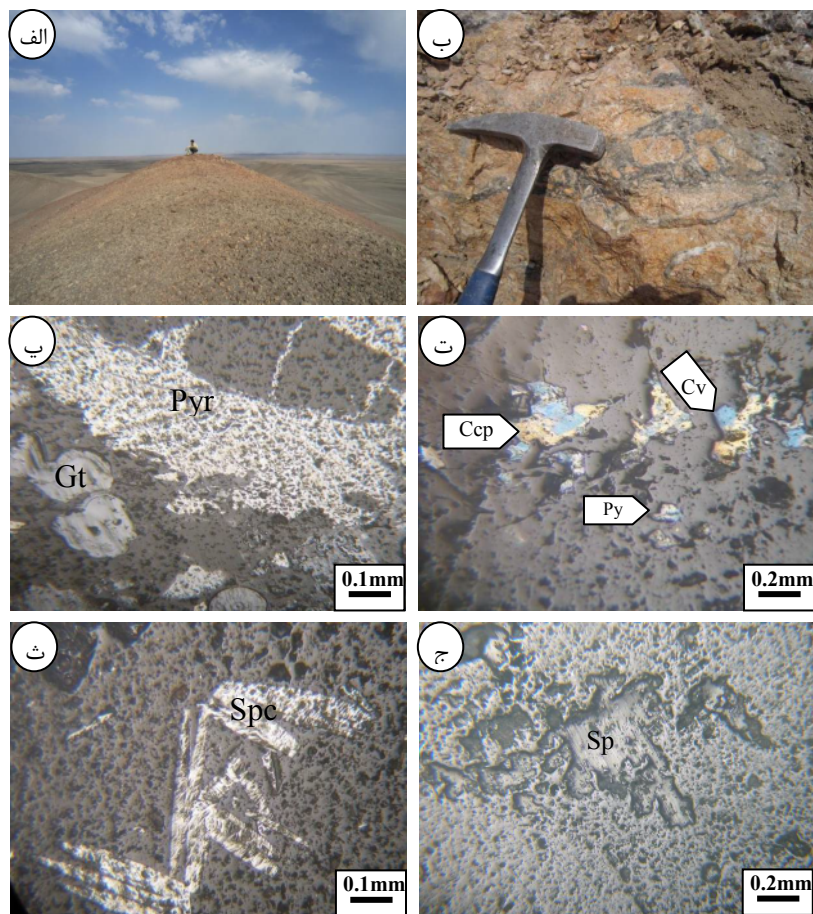
کانی‌های رسی و بخش‌های سیلیسی، سرسیتی، سولفید اکسیده، لیمونیت، ژاروسیت و بخصوص آلونیت مشخص می‌شود (شکل ۵ ج).

سیلیسی-کربناتی: این دگرسانی همراه با رگه‌هایی از کانی-سازی مشاهده می‌شود. کانی کوارتز و کلسیت، کانیهای اصلی این دگرسانی بحساب می‌آیند (شکل ۵ ث). این دگرسانی

همراه با رگه‌ها در بخش‌های مختلف گستره گسترش دارد. گوسان: با توجه به اینکه از تخریب سولفیدها ایجاد شده است، می‌توان آنرا نوعی کانی‌سازی دانست. در مرتفع‌ترین بخش زون آرژیلیک پیشرفته، زونهای سرخ تیره تا قهوه‌ای به همراه با رگچه‌های کوارتزی و رگچه‌های لیمونیت، ژاروسیت و گوتیت مشاهده می‌شوند که موجب تشکیل کلاهک گوسان شده است (شکل ۷الف).

آرژیلیک: این منطقه به علت شدت بالای دگرسانی، با تخریب بافتی همراه است و گستره‌ی گستره‌های از نقاط کمارتفاع و تپه ماهوری را شامل می‌شود. کانیهای رسی، مهم محصول دگرسانی هستند. از دیگر کانیهای دگرسان این منطقه می‌توان از مقادیر متوسط تا کم کوارتز و سرسیت نام برد. بر حسب مقدار کوارتز و سرسیت دو دگرسانی سرسیتیک-آرژیلیک و سیلیس-آرژیلیک جدا از یکدیگر دیده می‌شوند. این دگرسانی بخش بزرگی از واحدهای سنگی را تحت تأثیر قرار داده است (شکل ۶). واحدهای ریولیتی منطقه، تحت تأثیر این دگرسانی قرار گرفته‌اند (شکل ۵ ح). این زون در صورا به رنگ زرد دیده شد. شدت این دگرسانی در بخش‌های مختلف متفاوت است. بیشترین شدت این دگرسانی در مرکز و بخش شرقی دیده می‌شود.

آرژیلیک پیشرفته: دگرسانی آرژیلیک پیشرفته ارتفاع ساز و با



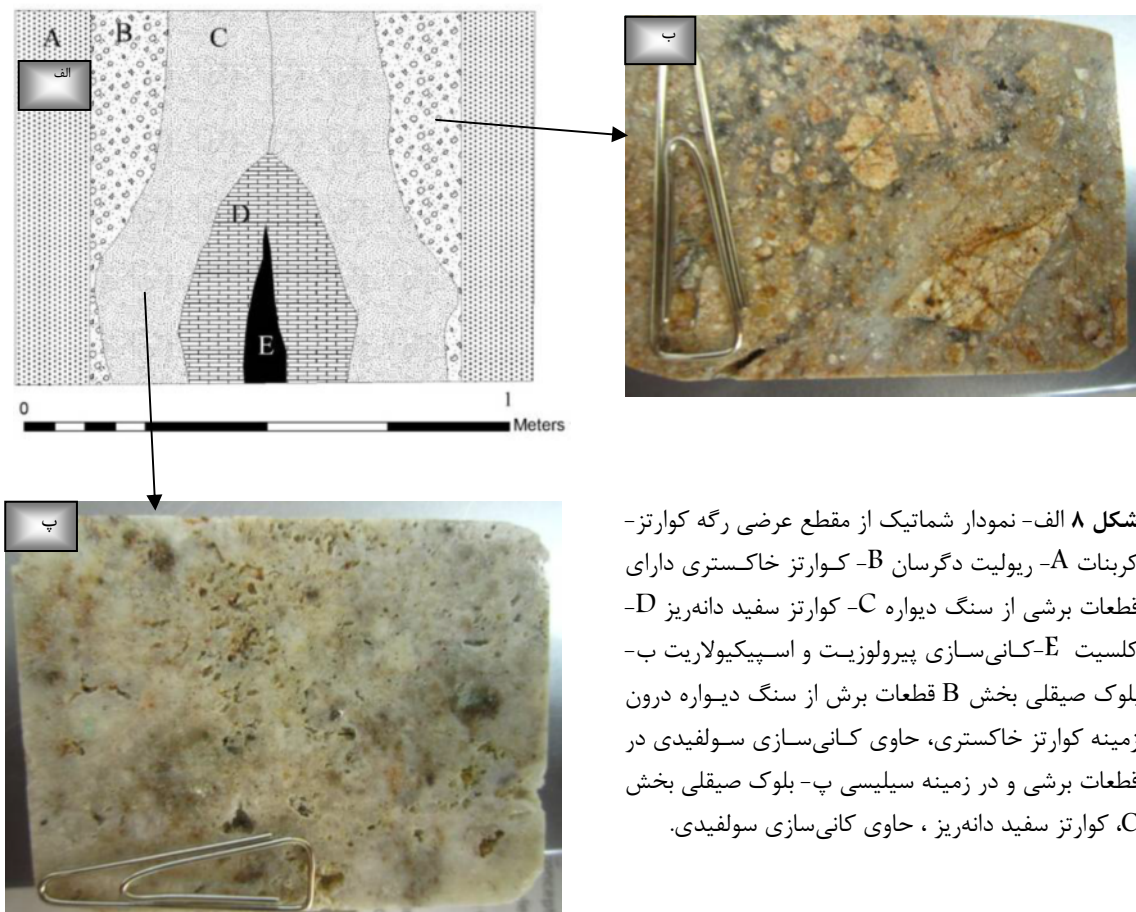
شکل ۷ الف- کلاهک گوسان (دید به سمت شمال) ب- کانی سازی پیرولوژیت و گوتیت در زمینه‌ی برش گرمابی پ- کانی‌زایی گوتیت و پیرولوژیت ت- کانی‌سازی کالکوپیریت، کولیت و پیریت در رگه‌های کوارتز-کربنات ث- کانی اسپیکیولاریت ج- کانی اسفالریت × علائم اختصاری بر اساس [۲۲] و Spc برای اسپیکیولاریت استفاده شده است.

از کوارتز و کربنات قرار گرفته‌اند. کانی‌سازی در قطعات و نیز در سیمان دیده می‌شود که نشان دهنده کانی‌سازی دو مرحله‌ای در منطقه است. این رگه‌ها بیشتر دارای روند شمالی-جنوبی و شمالشرق-جنوب غربی با ضخامت حداقل ۱ متر و طول تا بیش از ۱۰۰۰ مترند که با توجه به اهمیت زیاد روی نقشه آورده شده‌اند. در این رگه‌ها، کانی‌سازی پیریت به صورت پراکنده و در حد ۱ تا ۲ درصد حضور دارد. این رگه با گسل‌های عرضی راستا لغز بریده و جابجا شده است. تشکیل دوگانه‌ی سنگ‌ها در ۴ مرحله صورت می‌گیرد که عبارتند از ۱-کوارتز خاکستری ریز دانه حاوی بافت‌های برش گرمابی که در قطعات برش و در زمینه‌ی کوارتز خاکستری، کانی‌سازی سولفیدی مشاهده می‌شود و بالاترین عیار طلا و عناصر دیگر نیز مربوط به این بخش از رگه است (شکل ۸-ب). ۲-کوارتز سفید ریز دانه حاوی کانی‌سازی سولفیدی (شکل ۸-ب) ۳-کلسیت فاقد کانی‌سازی و ۴-کانی‌سازی پیرولوژیت و اسپیکیولاریت.

کانی‌سازی

کانی‌سازی در این گستره به دو صورت رگه‌ای و پراکنده مشاهده می‌شوند. کانی‌سازی در سطح به صورت کانی‌سازی سولفیدی افسان و با گسترش گستردگی در واحدهای آتش‌شانی و نفوذی است. کانی‌سازی افسان بیشتر پیریت (۲ تا ۵ درصد) و کمتر کالکوپیریت است که به صورت دانه‌های پراکنده در متن سنگ تشکیل شده‌اند. بیشترین پراکنده‌ی کانی‌سازی افسان، در زون دگرسانی پروپلیتیک و آرژیلیک-سرسیتی مشاهده می‌شود.

کانی‌سازی دیگری که در رگه‌های کوارتز-کربنات مشاهده می‌شود که کانی‌سازی سولفیدی آن شامل کانی‌های درون‌زاد پیریت، کالکوپیریت، اسفالریت و گالن می‌شود (شکل ۷ت). علاوه بر این کانی ثانویه کولیت نیز که از تبدیل کالکوپیریت ایجاد شده است در مقاطع صیقلی مشاهده می‌شود. در رگه‌های سیلیس-کربنات، قطعاتی از سنگ‌های آتش‌شانی به شدت دگرسان (سیلیسی-آرژیلیکی) مشاهده می‌شود که در سیمانی



شکل ۸ الف-نمودار شماتیک از مقطع عرضی رگه کوارتز-کربنات-A-ریولیت دگرسان-B-کوارتز خاکستری دارای قطعات برشی از سنگ دیواره-C-کوارتز سفید دانه‌ریز-D-کلسیت-E-کانی‌سازی پیرولوژیت و اسپیکیولاریت ب-بلوک صیقلی بخش B قطعات برش از سنگ دیواره درون زمینه کوارتز خاکستری، حاوی کانی‌سازی سولفیدی در قطعات برشی و در زمینه سیلیسی پ-بلوک صیقلی بخش C، کوارتز سفید دانه‌ریز، حاوی کانی‌سازی سولفیدی.

گرمابی مشخص می‌شود (شکل ۷ پ و ث). دنباله‌ی پاراژنزی مجموعه‌های کانی فلزی در گستره‌ی بالا زرد در شکل ۹ مشاهده می‌شود.

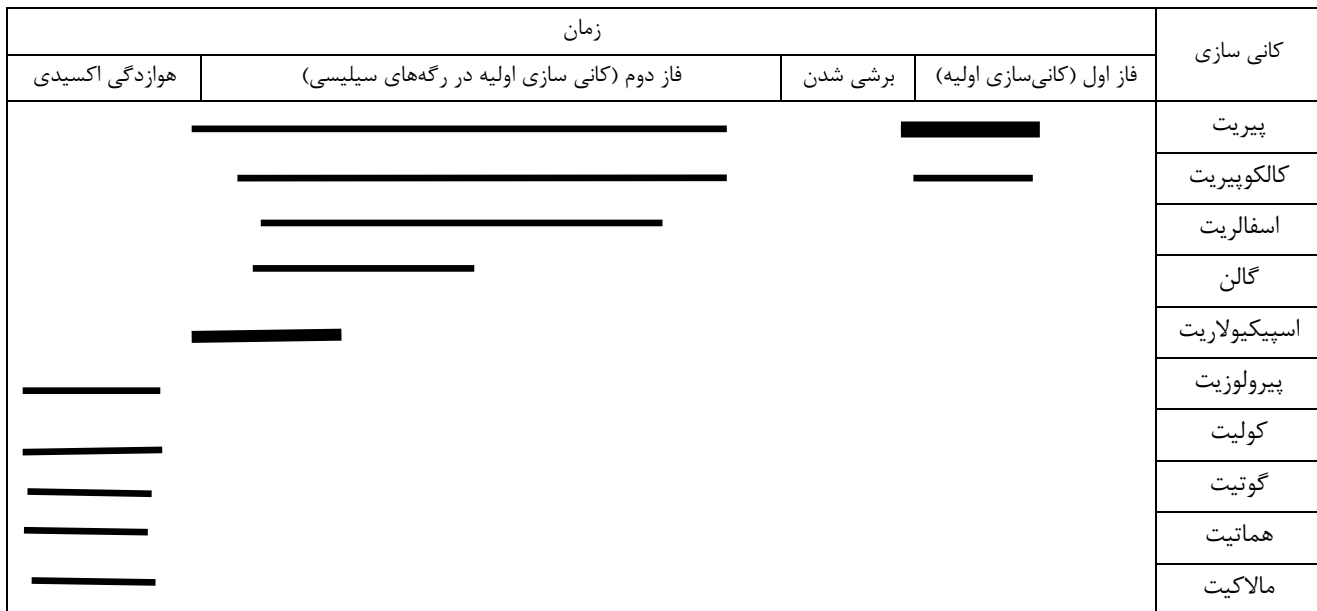
پی‌جوئی‌های ژئوشیمیایی بر مبنای سنگ
با توجه به بررسی‌های کانی‌سازی سولفیدی در رگه‌های کوارتز-کربنات، ۱۰ نمونه، به صورت خردمنگی از این رگه‌ها برداشت شدند و مورد بررسی قرار گرفتند. نتایج بدست آمده در جدول ۱ آرائه شده‌اند.

طلا: این عنصر از ۱۳ تا ۲۴۷۰ میلی‌گرم در تن متغیر است (جدول ۱). بیشترین مقادیر در رگه‌های با روند شمال شرقی-جنوب غربی مشاهده می‌شوند (شکل ۱۰). این عنصر با عناصر مس، نقره، سرب و روی همبستگی شدیدی نشان می‌دهد (جدول ۲).

نقره: این عنصر از ۲، تا ۱۱۴ گرم در تن متغیر است. این عنصر با طلا همبستگی شدیدی نشان می‌دهد (جدول ۲).
مس: با توجه به بررسی‌های کانی‌نگاری، این عنصر دارای کانی‌سازی‌های پراکنده به صورت اولیه (کالکوپیریت) و ثانویه (مالاکیت و کولیت) است. مقدار این عنصر از کمتر از ۱ تا ۱۲۵۰ گرم در تن متغیر است. این عنصر با عناصر آرسنیک، طلا، آنتیموان و سرب همبستگی شدیدی نشان می‌دهد (جدول ۲).

نوع سوم کانی‌سازی در این منطقه برش گرمابی است (در مقیاس ۱:۱۰۰۰۰ قابل نمایش نیستند). این منطقه حاوی قطعات ریز و درشت زاویه‌دار از ۱ تا ۱۰ سانتی‌متر است (شکل ۷ ب) جنس این قطعات ریولیت است و به وسیله‌ی کوارتز و کربنات سیمانی شده است. کانی‌سازی پیریت در قطعات برشی شده و کانی‌سازی پیرولوزیت و اسپیکیولاریت در سیمان بین قطعات دیده می‌شود که بازگوکننده‌ی دو مرحله‌ی مختلف کانی‌سازی است. قطعات برشی به شدت دگرسان شده‌اند و به رنگ سفید دیده می‌شوند.

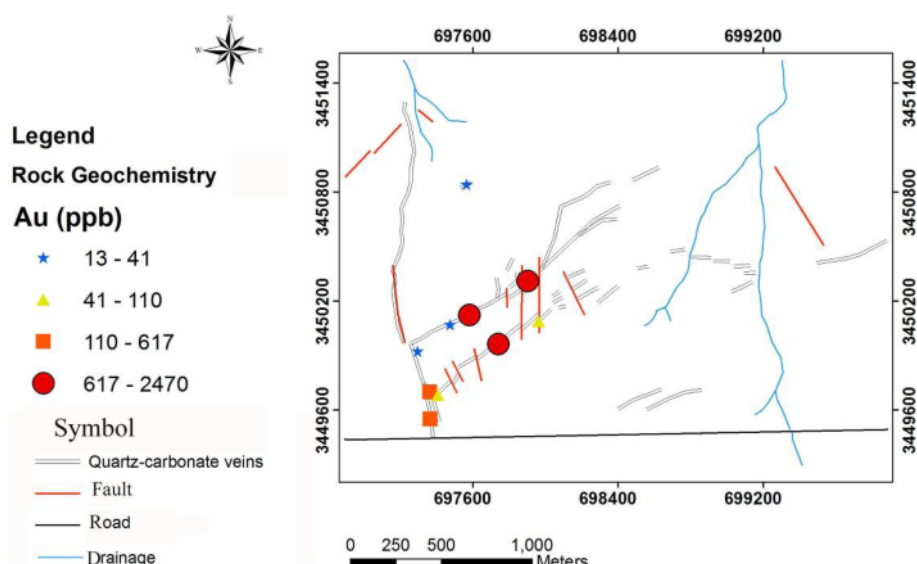
تفسیر زیشی این کانسارت براساس بررسی‌های کانی نگاشت-ها بطور کلی نشانگر سه فاز مهم کانی‌سازی است: فاز اول که با کانی‌سازی پیریت به صورت پراکنده در متن ریولیت و توode‌های نیمه عمیق نظیر کوارتزمنزودیوریت پورفیری و هورنبلند دیوریت پورفیری مشخص می‌شود. در سنگ‌های آتش‌شانی این پیریت دگرسان شده و به اکسیدهای آهن تبدیل شده است. در توode‌های نیمه عمیق نظیر کوارتزدیوریت پورفیری در حدود ۵ درصد پیریت مشاهده می‌شود. فاز دوم کانی‌سازی اپی‌ترمال است که در زمانی دیرتر از فاز اول رخ داده و در رگه‌های کوارتز-کربنات مشاهده می‌شود. نمود آن عبارتند از کانی‌های کالکوپیریت، اسفالریت، گالن و پیریت. فاز سوم که در حقیقت هوازدگی اکسیدی است، آخرین فعالیت کانی‌سازی در منطقه است و با کانی‌سازی در مرکز رگه‌های کوارتز-کربنات به صورت کانی‌های اسپیکیولاریت و پیرولوزیت و نیز زمینه‌ی برش‌های



شکل ۹ توالی پاراژنزی مجموعه‌های کانی‌ای در محدوده بالا زرد.

جدول ۱ آنالیز شیمیایی نمونه‌های وابسته به رگه‌های کوارتز-کربنات (داده‌ها بر حسب ppm و برای طلا بر حسب ppb)

| Sample nu. | X | Y | Au | Ag | As | Cu | Mo | Pb | Sb | Zn |
|------------|-----------|-----------|------|-------|------|------|------|-----|-------|------|
| BZG-1 | ۵۹°۰'۱۵'' | ۳۱°۰'۴۸'' | ۶۱۷ | ۵۸,۲ | ۸۰,۳ | ۶۸۴ | ۱ | ۳۶۶ | ۸۰,۳ | ۶۱۵ |
| BZG-2 | ۵۹°۰'۱۲'' | ۳۱°۱'۰۰'' | ۲۱ | ۶ | ۳۴ | ۳۳ | ۱,۱۲ | ۷ | ۱,۰۹ | ۴ |
| BZG-3 | ۵۹°۰'۱۹'' | ۳۱°۱'۰۵'' | ۴۱ | ۱,۳ | ۱۱ | ۹ | ۱,۰۷ | ۱۲ | ۱,۱۶ | ۱۶ |
| BZG-4 | ۵۹°۰'۲۲'' | ۳۱°۱'۰۶'' | ۲۰۸۶ | ۱۱۳,۶ | ۸۴,۳ | ۸۰۴ | ۰,۹۴ | ۵۵۰ | ۱۰۱,۲ | ۶۹۴ |
| BZG-5 | ۵۹°۰'۲۸'' | ۳۱°۱'۰۵'' | ۱۱۰ | ۲,۲ | ۷۱,۹ | ۴۴۰ | ۰,۹ | ۱۱۹ | ۱۰۲,۱ | ۱۶۰ |
| BZG-6 | ۵۹°۰'۲۲'' | ۳۱°۱'۳۰'' | ۱۳ | ۰,۲۱ | ۷,۲ | ۱ | ۱,۰۴ | ۸ | ۰,۹۳ | ۱ |
| BZG-7 | ۵۹°۰'۱۵'' | ۳۱°۰'۵۳'' | ۹۳ | ۳۴,۲ | ۴۲,۹ | ۸۷ | ۰,۹۴ | ۲۹ | ۱,۱۳ | ۲۶ |
| BZG-8 | ۵۹°۰'۱۵'' | ۳۱°۰'۵۲'' | ۴۱۸ | ۵,۵ | ۷۸,۱ | ۱۸۵ | ۱,۰۱ | ۱۸۷ | ۵۷,۶ | ۴۶۴ |
| BZG-9 | ۵۹°۰'۲۵'' | ۳۱°۱'۱۲'' | ۲۱۱۸ | ۳۰,۱ | ۹۷,۷ | ۱۲۵۰ | ۱,۰۲ | ۸۶۰ | ۱۰۲,۵ | ۸۵۰ |
| BZG-10 | ۵۹°۰'۲۵'' | ۳۱°۱'۰۱'' | ۲۴۷۰ | ۵۹,۶ | ۶۶,۲ | ۸۵۶ | ۲,۹ | ۹۶۸ | ۳۹,۲ | ۲۴۶۲ |



شکل ۱۰ نقشه ژئوشیمی تغییرات عنصر طلا در محدوده بالازرد

جدول ۲ ضریب همبستگی عناصر.

| | Zn | Au | Sb | S | Pb | Mo | Cu | Bi | As | Ag |
|----|--------|--------|--------|--------|--------|--------|--------|--------|--------|----|
| Zn | ۱ | | | | | | | | | |
| Au | -۰,۸۳۶ | ۱ | | | | | | | | |
| Sb | -۰,۲۸۷ | -۰,۵۲۴ | ۱ | | | | | | | |
| S | -۰,۲۷۳ | -۰,۲۷۷ | -۰,۳۱۳ | ۱ | | | | | | |
| Pb | -۰,۸۸۵ | -۰,۹۶۷ | -۰,۵۵۲ | -۰,۳۲۴ | ۱ | | | | | |
| Mo | -۰,۸۸۶ | -۰,۵۵۹ | -۰,۱۳۵ | -۰,۱۶۲ | -۰,۶۱۲ | ۱ | | | | |
| Cu | -۰,۶۷۲ | -۰,۸۸۰ | -۰,۷۸۲ | -۰,۳۸۳ | -۰,۹۲۱ | -۰,۲۹۹ | ۱ | | | |
| Bi | -۰,۰۲۵ | -۰,۱۵۹ | -۰,۴۵۷ | -۰,۸۴۲ | -۰,۲۱۵ | -۰,۲۱۰ | -۰,۴۲۱ | ۱ | | |
| As | -۰,۴۶۵ | -۰,۶۳۹ | -۰,۸۹۱ | -۰,۴۴۸ | -۰,۶۷۸ | -۰,۰۴۴ | -۰,۸۱۹ | -۰,۵۱۱ | ۱ | |
| Ag | -۰,۵۰۴ | -۰,۷۱۹ | -۰,۴۸۷ | -۰,۲۳۴ | -۰,۶۰۱ | -۰,۲۲۵ | -۰,۶۱۲ | -۰,۳۰۳ | -۰,۵۳۲ | ۱ |

۱- ارتباط کانی‌سازی با توده‌های نیمه عمیق حدواسط پورفیری ۲- دگرسانی گستره‌ی منطقه که رابطه‌ی تنگاتنگی با توده‌های نفوذی دارد. ۳- نوع کانی‌سازی به شکلهای رگه‌ای و برش گرمابی ۴- مجموعه‌ی کانی‌های درونزاد که شامل پیریت، کالکوپیریت، اسفالریت و گالن است ۵- بیهنجاری بالای طلا (حداکثر ۲۴۷۰ میلی‌گرم در تن) و نقره (حداکثر ۱۱۴ گرم در تن) و نیز بیهنجاری آنومالی بالای عناصر سرب، روی، مس، آرسنیک و آنتیموان کانی‌سازی گستردۀ و پراکنده پیریت همراه با زونهای گستردۀ دگرسانی، نمایانگر فعالیت وسیع گرمابها در منطقه بوده و شرایط را برای کانی‌سازی از نوع پورفیری مناسب ساخته است و کانی‌سازی رگه‌ای می‌تواند نشانه‌ای از کانی‌سازی گستردۀ پورفیری وابسته به توده‌های نفوذی در منطقه باشد. زونهای آلونیت شناسایی شده، به همراه گستره‌س زیاد دگرسانی آژیلیک همراه با زونهای سرسیت-آژیلیک، رگه‌های کوارتز-کربنات و کانی‌سازی گستردۀ اکسیدآهن به صورت دانه‌های پراکنده، مشخص می‌سازد که سطح فرسایش فعلی، در حقیقت بخش سیستم رگه‌ای اپیترمال و بخش بالایی یک سیستم پورفیری است.

مراجع

- [۱] ملک‌زاده آ.، حیدریان مر، کریم‌پور م.ح، "کانی‌سازی و اکتشافات ژئوفیزیکی به روش IP/RS و مغناطیس‌سنگی زمینی در محدوده MA-I و اطراف آن، منطقه اکتشافی مس- طلا پورفیری ماهرا آباد شرق ایران"، مجله زمین‌شناسی اقتصادی ایران، (۱۳۸۸)، شماره ۱، جلد ۱۷-۱ ص.
- [۲] آقاباتی ع، "زمین‌شناسی ایران، سازمان زمین‌شناسی و اکتشافات معدنی کشور، (۱۳۸۳)، صفحه ۶۰۶.
- [۳] Arjmandzadeh R., Karimpour M.H., Mazaheri S.A., Santos J.F., Medina J., Homam S.M., "Sr-Nd isotope geochemistry and petrogenesis of the Chah-Shaljami granitoids (Lut Block, Eastern Iran)". Journal of Asian Earth Sciences 41, (2011) 283-296.
- [۴] کریم‌پور م.ح، ملک‌زاده شفارودی آ، مظاہری س.ا، حیدریان شهری م.ح، "ماگماتیزم و انواع کانی‌سازی مس، طلا، قلع و تنگستان در بلوک لوت"， مجموعه مقالات پانزدهمین همایش انجمن بلورشناسی و کانی‌شناسی ایران، دانشگاه فردوسی مشهد، (۱۳۸۶) ص. ۵۹۸-۶۰۴.
- [۵] ملک زاده شفارودی آ، "زمین‌شناسی، کانی‌سازی، دگرسانی، ژئوشیمی، تفسیرداده‌های ژئوفیزیکی،

سرب: این عنصر از ۷ تا ۹۶۸ گرم در تن متغیر است (جدول ۱). و مقادیر بالای آن با مقادیر بالای طلا، روی و مس همخوانی خوبی دارد (جدول ۲).

روی: این عنصر از ۱ تا ۲۴۶۲ گرم در تن متغیر است (جدول ۱). بیشترین مقادیر در رگه‌های با روند شمال شرقی-جنوب غربی مشاهده می‌شود. این عنصر با عناصر طلا، سرب و مولبیدن همبستگی شدیدی دارد (جدول ۲).

آنتمیوان: این عنصر از ۱ تا ۱۰۳ گرم در تن متغیر است (جدول ۱). این عنصر با عناصر آرسنیک و مس همبستگی شدیدی نشان می‌دهد (جدول ۲).

آرسنیک: میزان این عنصر از ۷ تا ۹۸ گرم در تن متغیر است، در حالیکه این عنصر با عناصر مس و آنتیموان همبستگی شدیدی نشان می‌دهد (جدول ۲).

برداشت

کانی‌سازی در گستره‌ی بالازرد، در جایگاه زمین‌ساختی مناسب (بخش مرکزی بلوكلوت) و در ارتباط با توده‌های نفوذی نیمه‌عمیق و دگرسانی‌های وابسته به آنها تشکیل شده است. واحدهای آتشفسانی منطقه، دارای ترکیب اسیدی (ریولیت) و حدواسط (آندرزیت) بوده که توده‌های نفوذی بیشتر حدواسط با ترکیب مونزودیوریت تا دیبوریت پورفیری در آن نفوذ کرده، و موجب دگرسانی و کانی‌سازی شده‌اند. دگرسانی در این محدوده، گستره‌ای بیش از ۲۰ کیلومترمربع را می‌پوشاند و شامل زونهای دگرسانی آژیلیک، سرسیت-آژیلیک، سیلیسی-آژیلیک، آژیلیک‌پیشرفت و پروپلیتیک است. کانی‌سازی سولفیدی و اکسیدهای آهن به شکل‌های پراکنده در متن سنگ، بصورت رگه‌ای و برش گرمابی مشاهده می‌شوند. حضور، گسترش و شدت میزان اکسیدهای آهن پراکنده (تا ۱۵ درصد در زون گوسان) حاکی از قرارگیری زونهای سولفیدی با عیار بالا در معرض هوازدگی و اسیدشویی است. منطقه‌بندی‌های دگرسانی از نظر تنوع، گسترش و شکل، همچنین ویژگی‌های کانی‌سازی در این منطقه مشابه با سیستمهای مس-طلا پورفیری و اپیترمال با سولفید بالا است [۲۴، ۲۳]. مشاهدات صحرایی، بررسی‌های کانی‌شناسی، دگرسانی و ژئوشیمیابی در گستره‌ی بالازرد نشان می‌دهد، کانی‌سازی سولفیدی در رگه‌های کوارتز-کربنات در اثر عملکرد یک گرماب که در راستای گسل‌ها و زون‌های برشی در حرکت بوده، ایجاد شده است. کانی‌سازی در این رگه‌ها بنا به دلایل زیر از نوع طلا و نقره اپیترمال می‌باشد:

- [14] Cooke D.R. Deyell C.L., Waters P.J., Gonzales R.I., and Zaw K., "Evidence for Magmatic-Hydrothermal Fluids and Ore-Forming Processes in Epithermal and Porphyry Deposits of the Baguio District, Philippine", *Economic Geology*, v. 106,(2011), 1399–1424.
- [15] حسینی ض، افشاریانزاده م، چایچی ز، " نقشه زمین-شناختی ۱/۲۵۰۰۰ ده سلم (چاهوک)"، سازمان زمین‌شناسی و اکتشافات معدنی کشور (۱۳۷۱).
- [16] اکرمی ا، نادری میغان ن، " نقشه زمین‌شناسی ۱/۱۰۰۰۰ ده سلم"， سازمان زمین‌شناسی و اکتشافات معدنی کشور (۱۳۸۴).
- [17] براتی، ب، "برداشت ژئوشیمی برگه ۱/۱۰۰۰۰ ده سلم"， سازمان زمین‌شناسی و اکتشافات معدنی کشور (۱۳۸۳).
- [18] Perez D.J., Crosta A.P., Souza Filho C.R., Marin G., "Mineral mapping exploration using hyperspectral AVIRIS data in Los Menucos area, Rio Negro province(67°51'W- 40°53'S), Argentina", 29th International Symposium on Remote Sensing of Environment, Buenos Aires, Argentina, 99-102.
- [19] Zhonghai He., Binbin He., Cui ying, "Hydrothermal alteration mapping using Aster data in east Kunlun mountain, Chin, Geoscience and Remote Sensing Symposium (IGARSS)", (2010), 4514 – 4517.
- [20] Beiranvand Pour, A., Hashim, M., "The application of ASTER remote sensing data to porphyry copper and epithermal gold deposits", *Ore Geology Reviews*, (2012) 44, 1–9.
- [21] Lowell, J.D., Guilbert, J.M., "Lateral and vertical alteration-mineralization zoning In porphyry ore deposits", *Economic Geology*, (1970), 65, 373–408.
- [22] Kretz R., "Symbols for rock-forming minerals", *American Mineralogist*, 68 (1983) 277-279.
- [23] Frotteir G.L., Burov.E., "The development and fracturing of plutonic apexes: implications for porphyry ore deposits", *Earth and Planetary Science Letters*, (2003), 214, 341-356.
- [24] Sillitoe R., "Gold-rich porphyry deposits: descriptive and genetic models and their role in exploration and discovery", *SEG Reviews*, (2000), 13, 315-345.
- میکروترمومتری، مطالعات ایزوتوبی و تعیین منشاء کانی‌سازی مناطق اکتشافی ماهرا آباد و خوییک، استان خراسان جنوبی، پایان نامه دکتری زمین‌شناسی اقتصادی، دانشگاه فردوسی مشهد، (۱۳۸۸)، ۶۰۰ صفحه.
- [۶] عبدی م، کریمپور م.ح، نجفی ع، "زمین‌شناسی، آلتراسیون و پتانسیل کانه‌زایی در منطقه کوهشاه، خراسان جنوبی"، نخستین همایش انجمن زمین‌شناسی اقتصادی ایران، دانشگاه فردوسی مشهد (۱۳۸۹) ۵۶۷-۵۷۴ ص.
- [۷] ارجمندزاده ر، "مطالعات کانی‌سازی، ژئوشیمی، سن‌سنگی و تعیین جایگاه تکتونوماگمایی توده های نفوذی در انديس معدنی ده سلم و چاه شلغمی، بلوک لوت، شرق ایران"، پایان نامه دکتری زمین‌شناسی اقتصادی ، (۱۳۹۰) ۳۶۹ صفحه.
- [۸] ارجمندزاده ر، کریمپور م.ح، سانتوز ژ.ف، مظاہری س.ا، مدینا ج، همام س.م، "تحول سیالات گرمابی در زونهای مختلف دگرسانی-کانی‌سازی در سیستم پورفیری ده سلم، بلوک لوت، شرق ایران"， دومین همایش انجمن زمین‌شناسی اقتصادی ایران، دانشگاه لرستان (۱۳۹۰) .
- [۹] کارجو مهدی، "گزارش اکتشاف مقدماتی در محدوده پروانه اکتشاف شرکت ماهور مس" ، (۱۳۸۶) ۲۷۰ صفحه.
- [۱۰] میرزایی راینی ر، احمدی ع، میرنژاد ح، "بررسی‌های کانی‌شناسی و شاره‌های درگیر در کانسار چندفلزی ماهور، شرق بلوت‌لوت، ایران مرکزی"， مجله بلورشناسی و کانی‌شناسی ایران، سال بیستم، شماره ۲، (۱۳۹۱) ۳۱۸-۳۰۷ ص.
- [۱۱] کریمپور م.ح، ملک‌زاده آ، فارم ل، استرن ج، "پتروژئنز گرانیت‌وئیدها، سن‌سنگی زیرکن به روش U-Pb و رخداد مهم کانی‌سازی ترشیاری در بلوک لوت، شرق ایران" ، مجله زمین شناسی اقتصادی ایران، شماره ۱، جلد ۴ ص. ۱-۲۷. (۱۳۹۱)
- [۱۲] میری ر، کریمپور م.ح، مظاہری ا، "مطالعه کانه‌زایی طلا، مس و روی در منطقه بالازرد، غرب شهرستان نهبندان"، چهارمین همایش انجمن زمین‌شناسی اقتصادی ایران، دانشگاه پیر جند (۱۳۹۱).
- [۱۳] Deyell C.L., Hedenquist J.W., "Trace element geochemistry of enargite in the Mankayan district, Philippines", *Economic Geology*, v. 106,(2011) p. 1465–1478.